



ترکیب منشأ و محیط تکتونیکی سنگ‌های رسی دگرگون شده‌ی کمپلکس ماهنشان (متاپلیت‌ها)

عادل ساکی^۱، غلامرضا میرزاوند^۲

(۱) گروه زمین‌شناسی دانشگاه شهید چمران اهواز ir

(۲) دانشگاه آزاد اسلامی واحد Dezful

پنجه‌های

سنگ‌های پرکامبرین کمپلکس ماهنشان در شمال غرب ایران تحت تاثیر دگرگونی ناحیه‌ای و مجاورتی قرار گرفته‌اند. در این منطقه سنگ‌های آذرین و دگرگونی مختلفی رخنمون دارند. سنگ‌های دگرگونی شامل متاپلیت‌ها (سنگ‌های رسی دگرگون شده)، آمفیبولیت‌ها، متاولکانیک‌ها، پاراگئیس، متاپریدوتیت و سرپانتین‌ها می‌باشند. متاپلیت‌ها دارای دو سری شیستوزیتیه در دو جهت مختلف هستند. مطالعات دقیق پتروگرافی و پتروفابریک در آن‌ها نشان می‌دهند که دو فاز دگرگونی ناحیه‌ای و یک فاز دگرگونی مجاورتی بر این سنگ‌ها تاثیر گذاشته‌اند. کانی‌های آندالوزیت، استارولیت، کیانیت و گارنت در طی اوج دگرگونی، فاز دوم دگرگونی ناحیه‌ای، متبلور شده‌اند. مطالعات ژئوشیمیایی متاپلیت‌ها نشان می‌دهند که ترکیب سنگ رسوبی اویلیه‌ی متاپلیت‌ها قبل از دگرگونی، شیل و یا گریوک بوده است. محیط تکتونیکی تشکیل رسوب اویلیه بر اساس نمودارهای متمایزکننده مرتبط با قوس‌های آتشفسانی می‌باشد. سنگ منشاء متاپلیت‌های ماهنشان بر اساس شیمی عناصر غیرمتحرک، سنگ‌های آذرین حدّ واسط مانند ریولیت تا آندزیت تشخیص داده شد.

واژه‌های کلیدی: شیل، کمپلکس ماهنشان، متاپلیت، نمودارهای متمایزکننده

Study of composition, source and tectonic setting of metapelitic rocks from Mahneshan complex, NW, Iran

A. Saki¹ & Gh. Mirzavand²

1) Department of Geology, Shahid Chamran University of Ahvaz, Ahvaz, I.R. Iran

2) Department of Geology, Islamic Azad University, Dezful Branch, Dezful, I.R. Iran

Abstract

The Precambrian rocks of Mahneshan Complex in Northwestern Iran were affected by regional and contact metamorphism. At the Mahneshan Complex different types of igneous and metamorphic rocks

are exposed. Metamorphic rocks including metapelites, amphibolites, metavolcanite, para-gneiss, metaperidotites and serpentinites. Metapelites are foliated at two directions. Exact petrographic and petrofabric studies on them show that three metamorphic phases including two regional and one contact are affected the rocks. Andalusite, staurolite, kyanite and garnet minerals are crystallized during second regional metamorphic phase. Geochemistry studies of metapelites shows that, Composition of old meta-sedimentary rocks (source of metapelites), are shale and greywacke. Discrimination diagrams indicate an arc related tectonic setting for the source of Mahneshan metapelites. Sources of Mahneshan metapelites are intermediate felsic igneous rocks (rhyolite or andesite) base on Geochemistry of immobile elements.

Key words: Discrimination diagrams, Mahneshan complex, metapelites, shale.

۱- مقدمه

اوج دگرگونی ناحیه‌ای یک دگرگونی مجاورتی (M_3) قسمتی از سنگ‌های دگرگونی موجود در کمپلکس ماهنشان شامل متاپلیت‌ها، کالک-سیلیکات‌ها، متاپلیت‌ها و سنگ‌های حاصل ذوب (میگماتیت‌ها و گرانیتوئید‌ها) می‌باشند. متاپلیت‌ها (شیست‌ها) تحت تاثیر دگرگونی‌های مختلف قرار گرفته و به صورت پلی‌متامورفیک دگرگون شده‌اند. مطالعات میکروسکوپی انجام شده بر روی مقاطع نازک، دو فاز دگرگونی D_1 و D_2 و سه فاز دگرگونی M_3 تا M_1 را نشان می‌دهند. فازهای دگرگونی M_1 و M_2 با فازهای دگرگونی D_1 و D_2 هم‌زمان می‌باشند. فاز دگرگونی M_3 به صورت دگرگونی مجاورتی بعد از فازهای اول و دوم رخ داده است. مجموعه کانی‌های اوج دگرگونی در شیست‌های منطقه‌ی بلند پرچین شامل استارولیت، آندالوزیت، سیلیمانیت، کیانیت، گارنت، بیوتیت، مسکویت و کوارتز (مجموعه بدون کلریتوئید) و در شیست‌های منطقه‌ی پشت‌وک شامل استارولیت، گارنت، کلریتوئید، کلریت، مسکویت و کوارتز (مجموعه‌ی کلریتوئیدار) می‌باشند. (Saki et al. 2007) مطالعات پتروفابریک نشان می‌دهند که اکثر کانی‌های مربوط به اوج دگرگونی در این شیست‌ها به صورت هم‌زمان با تکتونیک متبلور شده‌اند. ترکیب شیمیایی کانی‌های موجود در شیست‌ها با استفاده از روش‌های متداول ژئوتربارومتری، دما و فشار فازهای دگرگونی محاسبه گردید. دما و فشار اوج دگرگونی (فاز دگرگونی M_2) به ترتیب حدود ۶۰۰ درجه‌ی سانتی‌گراد و ۵/۵ کیلوبار می‌باشد. با توجه به حرارت و فشار به دست آمده گرایان زمین گرمایی 30°C بر کیلوتر برای اوج دگرگونی به دست آمد که منطبق بر گرایان زمین گرمایی نوع بارووین می‌باشد. (Saki et al. 2007) پس از

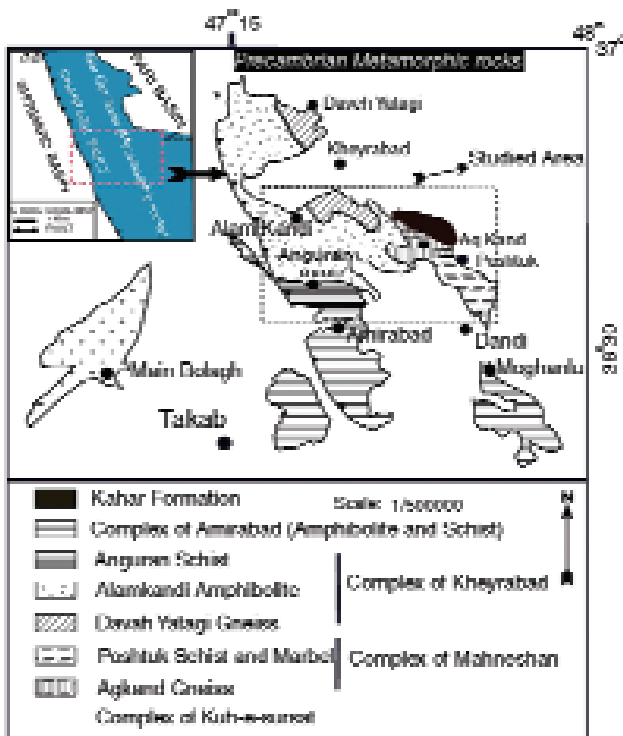
۲- موقعیت مغراوفیایی و زمین‌شناسی

منطقه‌ی مورد مطالعه (تصویر ۲ و ۳) بین طول‌های جغرافیایی 45° تا 47° شرقی و عرض‌های جغرافیایی 30° و 36° شمالی و در محل برخورد سه زون ایران مرکزی، سندج-سیرجان و البرز آذربایجان قرار گرفته است. Babakhani Ghalamghash (1990) این منطقه (جنوب غرب ماهنشان) از نظر ساختمانی در زون

محاسبه گردید. دما و فشار اوج دگرگونی (فاز دگرگونی M_2) به ترتیب حدود ۶۰۰ درجه‌ی سانتی‌گراد و ۵/۵ کیلوبار می‌باشد. با توجه به حرارت و فشار به دست آمده گرایان زمین گرمایی 30°C بر کیلوتر برای اوج دگرگونی به دست آمد که منطبق بر گرایان زمین گرمایی نوع بارووین می‌باشد. (Saki et al. 2007) پس از

شده‌اند. مجموعه‌ی پی که سنگ‌های پرکامبرین را تشکیل می‌دهند، بیشتر در بخش‌های مرکزی چهارگوش تکاب (کمپلکس ماہنشان) رخمنون دارند که بخشی از آن موضوع این تحقیق می‌باشد.

۳- (و)ش مطالعه



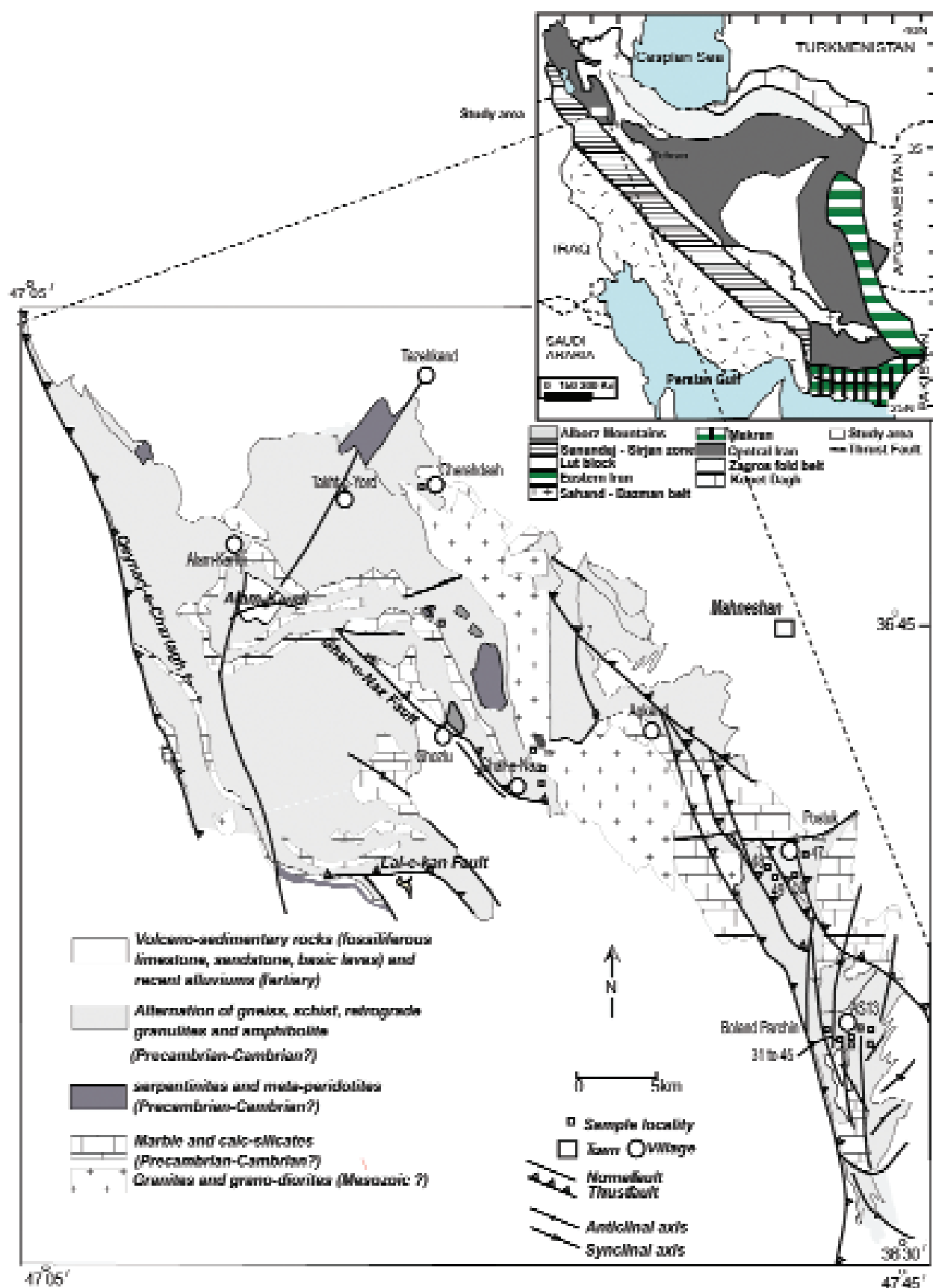
تصویر ۲- موقعیت جغرافیایی، ساختمانی و زمین‌شناسی منطقه‌ی مورد مطالعه، دو حوضه‌ی فروافتاده‌ی پری و شیرمرد با رسوبات ترشیاری در اطراف سنگ‌های دگرگونی پرکامبرین، برگرفته از نقشه‌ی ۱/۲۵۰۰۰۰ تکاب-صائین قلعه، سازمان زمین‌شناسی کشور.

پس از مطالعات صحرایی، تعداد ۸۰ مقطع نازک میکروسکوپی به منظور مطالعات پتروگرافی و روابط بافتی مورد بررسی قرار گرفتند. تعداد ۱۴ نمونه از شیست‌های گرافیتی بلند پرچین و غیر گرافیتی پشتک جهت مطالعات بعدی انتخاب شدند. نمونه‌ها جهت تعیین عناصر اصلی، کمیاب و نادر خاکی در آزمایشگاه دانشگاه پتسدام کشور آلمان، به روش‌های پراش اشعه (X-ray fluorescence: XRF) و طیف سنجی جرمی گسیل پلاسمای جفتیده القایی (Inductively coupled plasma emission mass spectrometry: ICP-MC) تحت آنالیز شیمیایی سنگ کل قرار گرفتند که نتایج آن در جداول ۱، ۲ و ۳ آورده شدند.



تصویر ۱- بازسازی سرزمین‌های گندوانایی در پرکامبرین پیشین بر اساس تصاویر مولیواید از پلیت‌های تکتونیکی در ۵۴۰ Ma به وسیله‌ی پروژه‌ی پلتیس (PLATES Project) (Ramezani & Tucker 2003). (ستاره‌ها بر جسته نشان داده شده‌اند). قوس و لکانیکی مرتبط با فروانش پوسته‌ی پروتوتیس رانشان می‌دهند.

(Berberian 1997, Berberian & King 1982) سن نسبی کمپلکس دگرگونی ماہنشان به پرکامبرین پیشین-پالئوزوئیک نسبت داده شده است. (Lotfi 2001) جدیدترین سن بر اساس اورانیم-سرب (U/Pb) زیرکن از گنیس‌های منطقه مورد مطالعه سن ۵۶۰ Ma را برای پرتوولیت سنگ‌های دگرگونی نشان می‌دهد. (Stockli et al. 2004) جایگیری سنگ‌های پرکامبرین و پالئوزوئیک در زیر رسوب‌ها و سنگ‌های آتشفسانی الیکومیوسن نشان از یک بر جستگی کهن (فرا زمین گورگور-کوه بلقیس و قبله داغ) از زمان پرکامبرین-پالئوزوئیک پایین تا الیکوسن می‌باشد. این بر جستگی به صورت یک فرازمین با راستای شمال باختری - جنوب خاوری از جنوب تا شمال منطقه کشیده شده است (نقشه ۷۱۰۰۰۰ ماهنشان سازمان زمین‌شناسی کشور). مرز باختری آن گسل معکوس قیزجه-چهارتاق با حوضه‌ی فروافتاده‌ی شیرمرد و مرز خاوری آن حوضه‌ی فروافتاده‌ی پری می‌باشد (تصویر ۲). در بیشتر قسمت‌های چهارگوش تکاب، جز جنوب و جنوب غربی آن، سازندهای مختلف زمین‌شناسی متعلق به پرکامبرین تا عهد حاضر گسترش داشته و از سنگ‌های دگرگونی، رسوبی و آذرین بیرونی و درونی تشکیل



تصویر ۳- موقعیت جغرافیایی، ساختمانی و زمین‌شناسی و نمونه برداری منطقه‌ی مورد مطالعه، برگرفته از نقشه‌ی ۱/۱۰۰۰۰۰ ماهنشان سازمان زمین‌شناسی کشور.

جدول ۱- عناصر اصلی سنگ کلّ متاپلیت‌ها

مجموع	CO ₂	H ₂ O	P ₂ O ₅	K ₂ O	Na ₂ O	CaO	MgO	MnO	Fe ₂ O ₃	Al ₂ O ₃	TiO ₂	SiO ₂	نماییز شده‌ونه‌های آن
(%)	(%)	(%)	(%)	(%)	(%)	(%)	(%)	(%)	(%)	(%)	(%)	(%)	MNS49
۹۹/۷	۰/۲۶	۳/۹۰	۰/۱۴	۳/۰۲	۱/۰۹	۱/۹۲	۱/۹۰	۰/۱	۱۰/۶۵	۲۰/۵	۱/۵۷	۵۴/۶	MNS49G
۹۹/۸	۰/۱۰	۲/۴۸	۰/۰۶	۰/۷۶	۰/۴۰	۰/۴۸	۰/۵۹	۰/۱۵	۱۱/۸۸	۱۷/۵	۱/۴۵	۶۳/۹	MNS47D
۹۹/۶	۳/۲۳	۰/۱۹	۰/۱۲	۳/۸۶	۰/۵۸	۱/۱۴	۱/۰۸	۰/۰۴	۸/۷۵	۲۳/۰	۱/۱۸	۵۶/۵	MNS44C
۹۹/۶	۱/۵۶	۲/۹۲	۰/۱۷	۲/۲۲	۱/۵۰	۱/۲۹	۲/۲۰	۰/۰۹	۶/۴۶	۱۶/۴	۰/۷۰	۶۳/۱	MNS57
۹۹/۵	۰/۰۶	۲/۸۵	۰/۱۴	۵/۹۹	۱/۱۹	۰/۴۷	۲/۸۳	۰/۰۷	۷/۴۵	۱۸/۹	۰/۹۹	۵۸/۱	MN43C
۶/۹۹	۱/۷۲	۲/۷۴	۰/۱۱	۳/۸۵	۰/۹۴	۰/۵۰	۲/۰۴	۰/۱۲	۶/۹۵	۱۹/۶	۰/۹۶	۶۰/۱	MN29A
۹۹/۷	۰/۱۳	۱/۸۷	۰/۰۶	۱/۳۳	۱/۰۷	۷/۱۸	۳/۹۲	۰/۴۰	۴/۹۳	۲۴/۹	۱/۶۶	۴۰/۵	MNS31D
۶/۹۹	۲/۰۵	۳/۱۷	۰/۱۳	۳/۳۲	۱/۵۹	۰/۸۶	۱/۶۳	۰/۱۱	۴۶/۰	۱۷/۴	۰/۸۵	۶۲/۷	MNS43B1
۹۹/۶	۱/۷۵	۲/۸۵	۰/۱۵	۲/۴۹	۱/۴۸	۰/۷۱	۲/۰۰	۰/۱۴	۶/۶۵	۱۷/۰	۰/۷۸	۶۳/۶	MNS43B2
۹۹/۷	۰/۹۹	۲/۲۳	۰/۱۸	۳/۰۱	۱/۵۶	۱/۷۹	۲/۲۶	۰/۲۸	۸/۲۲	۱۸/۳	۰/۸۷	۶۰/۰	MNS24A
۹۹/۷	۰/۱۴	۰/۹۵	۰/۲۶	۲/۰۶	۳/۹۸	۳/۷۵	۲/۱۵	۰/۰۷	۶/۱۲	۱۶/۶	۰/۷۷	۶۲/۱	MNS24B
۹۹/۷	۰/۱۷	۱/۱۰	۰/۲۲	۲/۱۵	۱/۸۵	۳/۸	۲/۰۶	۰/۱۱	۶/۰۹	۱۵/۸	۰/۷۰	۶۳/۷	13F
۹۹/۸	۰/۱۵	۰/۱۹	۰/۱۳	۲/۴۷	۱/۰۵	۰/۶۱	۱/۸۴	۰/۱۳	۶/۴۱	۱۶/۹	۰/۸۱	۶۵/۸	AS9E
۹۸/۱	۰/۲۰	۰/۶۰	۰/۱۲	۵/۰۵	۱/۵۴	۰/۶۵	۲/۳۵	۰/۰۸	۶/۳۵	۱۶/۵۵	۰/۷۷	۶۱/۳	

جدول ۲- عناصر فرعی سنگ کلّ متاپلیت‌ها

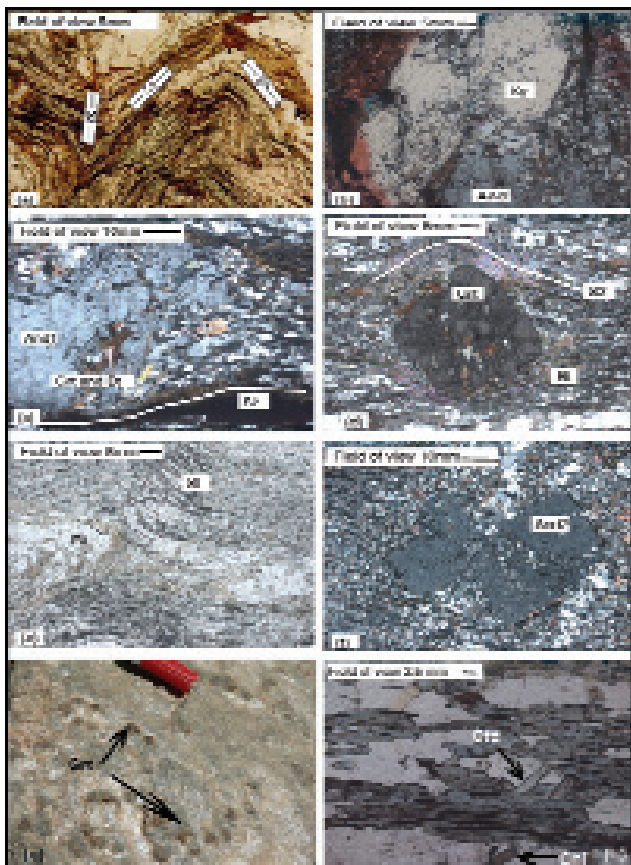
مجموع	CO ₂	H ₂ O	P ₂ O ₅	K ₂ O	Na ₂ O	CaO	MgO	MnO	Fe ₂ O ₃	Al ₂ O ₃	TiO ₂	SiO ₂	نماییز شده‌ونه‌های آن
(%)	(%)	(%)	(%)	(%)	(%)	(%)	(%)	(%)	(%)	(%)	(%)	(%)	MNS49
۹۹/۷	۰/۲۶	۳/۹۰	۰/۱۴	۳/۰۲	۱/۰۹	۱/۹۲	۱/۹۰	۰/۱	۱۰/۶۵	۲۰/۵	۱/۵۷	۵۴/۶	MNS49G
۹۹/۸	۰/۱۰	۲/۴۸	۰/۰۶	۰/۷۶	۰/۴۰	۰/۴۸	۰/۵۹	۰/۱۵	۱۱/۸۸	۱۷/۵	۱/۴۵	۶۳/۹	MNS47D
۹۹/۶	۳/۲۳	۰/۱۹	۰/۱۲	۳/۸۶	۰/۵۸	۱/۱۴	۱/۰۸	۰/۰۴	۸/۷۵	۲۳/۰	۱/۱۸	۵۶/۵	MNS44C
۹۹/۷	۱/۵۶	۲/۹۲	۰/۱۷	۲/۲۲	۱/۵۰	۱/۲۹	۲/۲۰	۰/۱۹	۶/۴۶	۱۷/۴	۰/۷۰	۶۳/۱	MNS57
۹۹/۵	۰/۰۶	۲/۸۵	۰/۱۴	۵/۹۹	۱/۱۹	۰/۴۷	۲/۸۳	۰/۰۷	۷/۴۵	۱۸/۹	۰/۹۹	۵۸/۱	MN43C
۶/۹۹	۱/۷۲	۲/۷۴	۰/۱۱	۳/۸۵	۰/۹۴	۰/۵۰	۲/۰۴	۰/۱۲	۶/۹۵	۱۹/۶	۰/۹۶	۶۰/۱	MN29A
۹۹/۲	۰/۱۳	۱/۸۷	۰/۰۶	۱/۳۳	۱/۰۷	۷/۱۸	۳/۹۲	۰/۴۰	۴/۹۳	۲۴/۹	۱/۶۶	۴۰/۵	MNS31D
۶/۹۹	۲/۰۵	۳/۱۷	۰/۱۳	۳/۳۲	۱/۵۹	۰/۸۶	۱/۶۳	۰/۱۱	۴۶/۰	۱۷/۴	۰/۸۵	۶۲/۷	MNS43B1
۹۹/۶	۱/۷۵	۲/۸۵	۰/۱۵	۲/۴۹	۱/۴۸	۰/۷۱	۲/۰۰	۰/۱۴	۶/۶۵	۱۷/۰	۰/۷۸	۶۳/۶	MNS43B2
۹۹/۷	۰/۹۹	۲/۲۳	۰/۱۸	۳/۰۱	۱/۵۶	۱/۷۹	۲/۲۶	۰/۲۸	۸/۲۲	۱۸/۳	۰/۸۷	۶۰/۰	MNS24A
۹۹/۷	۰/۱۴	۰/۹۵	۰/۲۶	۲/۰۶	۳/۹۸	۳/۷۵	۲/۱۵	۰/۰۷	۶/۱۲	۱۶/۶	۰/۷۷	۶۲/۱	MNS24B
۹۹/۷	۰/۱۷	۱/۱۰	۰/۲۲	۲/۱۵	۱/۸۵	۳/۸	۲/۰۶	۰/۱۱	۶/۰۹	۱۵/۸	۰/۷۰	۶۳/۷	13F
۹۹/۸	۰/۱۵	۰/۱۹	۰/۱۳	۲/۴۷	۱/۰۵	۰/۶۱	۱/۸۴	۰/۱۳	۶/۴۱	۱۶/۹	۰/۸۱	۶۵/۸	AS9E
۹۸/۱	۰/۲۰	۰/۶۰	۰/۱۲	۵/۰۵	۱/۵۴	۰/۶۵	۲/۳۵	۰/۰۸	۶/۳۵	۱۶/۵۵	۰/۷۷	۶۱/۳	

جدول ۳- عناصر نادر خاکی در سنگ کلّ دو نمونه از متاپلیت‌ها

Yb	Tm	Er	Ho	Dy	Tb	Gd	Eu	Sm	Nd	Pr	Ca	LA	نماییز شده‌ونه‌های آن
ppm	(ppm)	(ppm)	(ppm)	(ppm)	(ppm)	(ppm)							
۰/۴۳	۳/۰۴	۰/۴۵	۳/۱۸	۱/۰۱	۴/۹۸	۵/۷۴	۱/۱۷	۶/۰۰	۳/۳۵	۸/۶۱	۷۴/۴	۳۶	13F
۰/۴۸	۳/۳۰	۰/۴۸	۳/۳۷	۱/۱۳	۵/۸۳	۱/۰۰	۱/۳۷	۷/۳۹	۳/۷۲	۹/۷۱	۷۹/۴	۴۰	AS9E

Ctd + St + Grt + Ms + Bt + Qtz

گارنت + مسکویت + بیوتیت + کوارتز



تصویر ۴-a- شیستوزیته S_1 و شکل گیری شیستوزیته S_2 در میکاشیست‌های آلمالو-b. PPL بلور کیانیت در کنار بلور آندالوزیت-XPL.c بلورهای هم‌زمان با تکتونیک آندالوزیت که در طی فاز دگرگونی M_2 به وجود آمدند و شیستوزیته S_2 آن را دور می‌زنند. d- XPL گارنت هم‌زمان با تکتونیک، هم‌زمان با فاز M_2 به وجود آمدند-e. XPL-f. بلورهای کانی شکل دار استارولیت هم‌زمان با تکتونیک شکل گرفته است. PPL-g. شکل گرفته‌اند. g- XPL-h. شیست‌های گارنت- کلریتوئیددار منطقه پشتوك در صحراء. بلورهای آبی رنگ کلریتوئید و کلریت در شیست‌های بدون گرافیت پشتوك. h.

۴- مطالعات ژئوشیمی

۴-۱- ترکیب سنگ رسوبی اولیه

به منظور مشخص نمودن سنگ رسوبی قدیمی دگرگون شده، استفاده از عناصر اصلی موجود در سنگ موثر می‌باشد، به طوری که از نمودارهای پتی جان و همکاران (Pettijohn et al. 1972) که مرز انواع سنگ‌ها در آن‌ها توسط هرون (Herron 1988) تغییر یافته، استفاده شد.

۴- بمث

۴-۱- مطالعات پتروگرافی

سنگ‌های رسی و نیمه‌رسی دگرگون شده، در تمام منطقه به صورت میان لایه با گیس‌ها و دیگر سنگ‌ها دیده می‌شوند، ولی در چند منطقه با حجم‌های وسیع رخنمون دارند، از جمله در روستاهای بلند پرچین، پشتوك، آلمالو (کمپلکس ماهنشان) و انگوران (کمپلکس امیرآباد) که شیست‌های هر منطقه کانی‌شناسی و ترکیب مodal خاص خود را دارند. شیست‌های گرافیتی بلند پرچین در شمال روستای بلند پرچین در کنار جاده بروندز دارند و به رنگ تیره دیده می‌شوند و پروفیل‌ولاست‌هایی از آندالوزیت و استارولیت در سطح آن‌ها دیده می‌شوند. این سنگ‌ها نیز در نمونه‌ی دستی شیستوزیته‌ی کاملاً مشخصی دارند. (تصویر ۴a, b, c, d, e, f, g, h)

مجموعه کانیابی مشاهده شده در این سنگ‌ها عبارتند از:

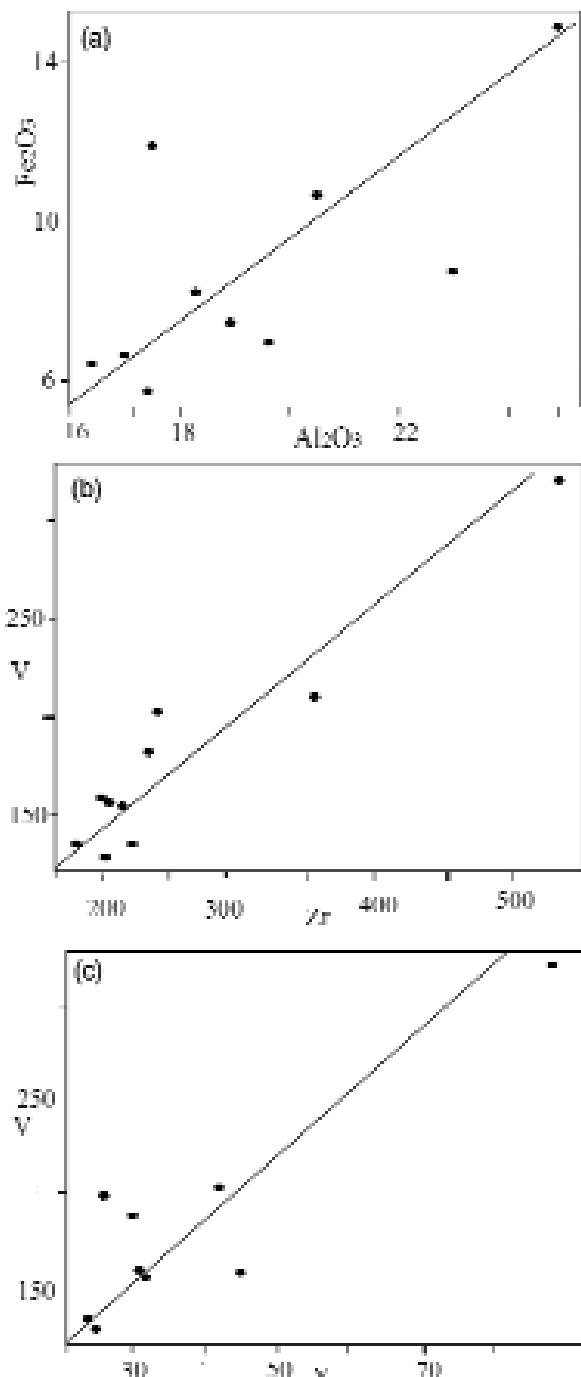
St+And+Ky+Grt+Bt+Ms+Qtz

استارولیت+آندالوزیت+کیانیت+گارنت+بیوتیت+مسکویت+کوا

رنز

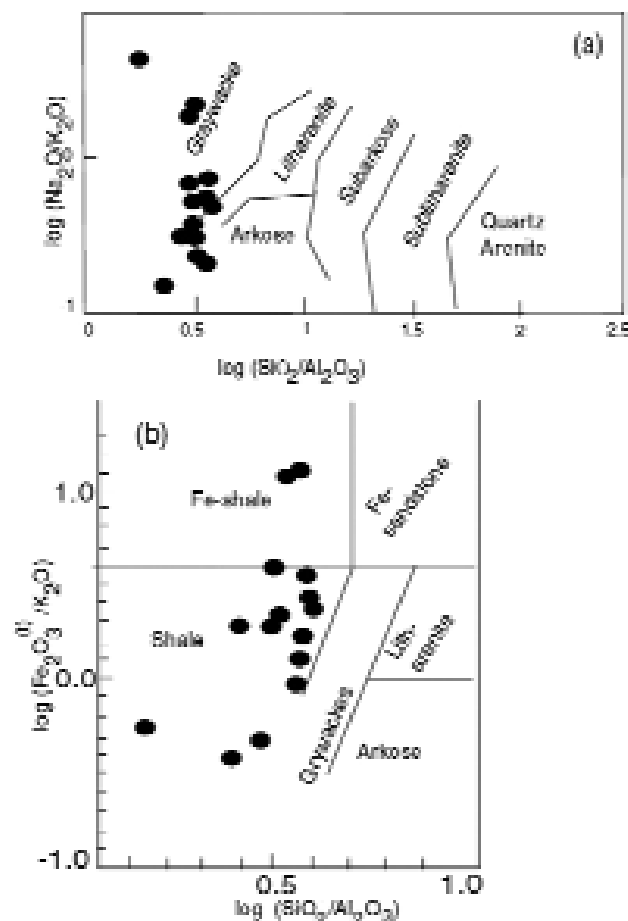
این سنگ‌ها در نمونه‌ی دستی حاوی کانی آندالوزیت به طول ۲ سانتی‌متر می‌باشند و به دلیل وجود گرافیت به رنگ تیره دیده می‌شوند. شیست‌های کلریتوئیددار پشتوك در مجاورت آمفیبولیت‌ها و گرانیت‌ها در غرب و جنوب روستای پشتوك رخنمون دارند. این شیست‌ها از نظر رنگ و بافت و کانی‌شناسی با شیست‌های گرافیتی بلند پرچین اختلاف دارند. گارنت در این شیست‌ها درشت دانه (تصویر h) بوده و بافت هلیسیتی از خصوصیات آن می‌باشد. این سنگ‌ها در نمونه دستی به رنگ زرد تا قهوه‌ای و خاکستری دیده می‌شوند. اندازه‌ی گارنت در این سنگ‌ها در نمونه‌ی دستی تا ۷/۵ سانتی‌متر نیز می‌رسد. شیستوزیته در این سنگ‌ها به خوبی قابل مشاهده است. در مقاطع نازک گارنت‌ها به صورت هلیسیتی (حلزونی) و شکل دار دیده می‌شوند. استارولیت در نور طبیعی به رنگ زرد و تقریباً شکل دار دیده می‌شود و بیش از ۴۰ درصد سنگ از این کانی تشکیل گردیده است. مسکویت نیز به صورت نیمه شکل دار تا شکل دار قبل ملاحظه می‌باشد. در مقاطع نازک (نمونه‌ی شماره ۴g) بلورهای منشوری ریزدانه با رنگ آبی (نور طبیعی) با جهت گیری موازی با شیستوزیته غالب سنگ دیده می‌شوند که کلریتوئید می‌باشند. (تصویر ۴h)

عناصر مقاوم و پایدار در دیاگرام‌های دوتایی وانادیم-ایتریم، وانادیم-زیرکونیم، اکسید آلومینیم-اکسید آهن سه- $\text{V}-\text{Al}_2\text{O}_3$ ، $\text{V}-\text{Zr}$ ، $\text{V}-\text{Y}$ تصویر ۶a، b، c) در مقابل هم قرار داده شدند. تطبیق نسبتاً خوبی بین این عناصر با همدیگر دیده می‌شود، که این موضوع دلالت بر منشاء یکسان این رسوبات دارد.



تصویر ۶- عناصر مقاوم و پایدار در دیاگرام‌های دوتایی وانادیم-ایتریم، وانادیم-زیرکونیم، اکسید آلومینیم-اکسید آهن سه ($\text{V}-\text{Zr}$, $\text{V}-\text{Y}$) ($\text{Fe}_2\text{O}_3-\text{Al}_2\text{O}_3$ ، $\text{V}-\text{Zr}$, $\text{V}-\text{Y}$) در مقابل هم قرار داده شد، به طوری که ملاحظه می‌شود تطبیق نسبتاً خوبی بین این عناصر با همدیگر دیده می‌شود.

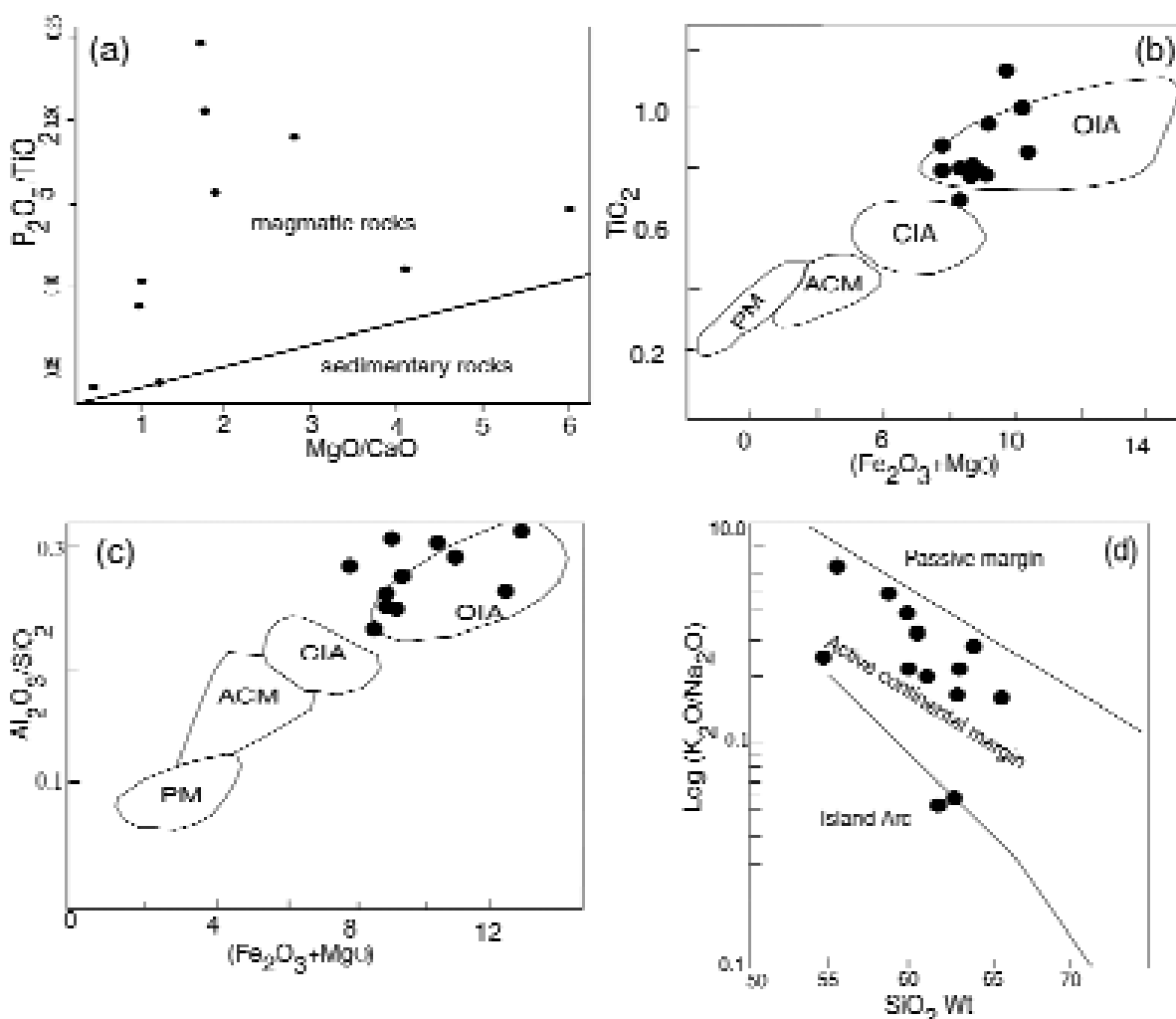
در این نمودارهای متمایزکننده که بر مبنای تغییرات لگاریتمی اکسید پتابسیم - اکسید سدیم ($\text{K}_2\text{O}/\text{Na}_2\text{O}$) و اکسید آهن سه - اکسید پتابسیم ($\text{Fe}_2\text{O}_3/\text{K}_2\text{O}$) در برابر اکسید آلومینیم-اکسید آهن سه ($\text{SiO}_2/\text{Al}_2\text{O}_3$) طراحی شده‌اند، انواع گریوک و شیل برای سنگ رسوبی دگرگونی، مشخص شده‌اند. (تصویر ۵ a، b) نمودار اکسید پتابسیم به اکسید آهن سه ($\text{Fe}_2\text{O}_3/\text{K}_2\text{O}$) در برابر سیلیس (Moyen & Watt 2006, Osae et al 2006) کاربرد بیشتری دارد. با استفاده از عناصر مقاوم در برابر دگرسانی و هوازدگی از قبیل هافنیوم، زیرکنیم، آهن، آلومینیم، تیتان، توریم، نئویم، اسکاندیم و عناصر نادر خاکی (Hf, Zr, Fe, Al, Ti, Th, Nb, Sc, REE) می‌توان به هم منشاء بودن و یا نبودن رسوبات پی برداشت. به همین منظور



تصویر ۵-a- طبقه‌بندی پتی جان و همکاران (Pettijohn et al. 1972)، هرون (Herron 1988) اصلاح شده است. طبق این نمودار اکثر متاپلیت‌های ماہنشان از نوع گریوک می‌باشند. b- طبقه‌بندی هرون (Herron 1988) که بر اساس آن متاپلیت‌ها از نوع شیل می‌باشند.

به دلیل متحرک بودن بعضی عناصر مانند کلسیم، سدیم، فسفر، پاتاسیم، استرانسیم، باریم، رو بیدیم، منیزیم، سیلیسیم (Ca, Na, P, K, Sr, Ba, Rb, Mg, Si) که با درجه‌ی متوسط هوازدگی سیستم را ترک می‌کنند (Middelburg et al. 1988) باید در به کار بردن نمودارهای تعیین منشاء رسوبات احتیاط کرد. در مقابل، بعضی عناصر مانند هافنیوم، زیرکنیم، آهن، آلومینیم، تیتان، توریم، نئویم، اسکاندیم و عناصر نادر خاکی در مقابل هوازدگی مقاوم تر هستند. بر اساس نمودارهای موجود نمونه‌های تجزیه شده از منطقه‌ی ماهنشان در محدوده‌ی جزایر قوسی و حاشیه‌ی فعال قاره‌ای قرار می‌گیرند. (تصویر b, c, d) این دسته از نمودارهای طور وسیعی برای تعیین محیط تکتونیکی تشکیل رسوب به کار رفته‌اند. (Petersen et al 2004)

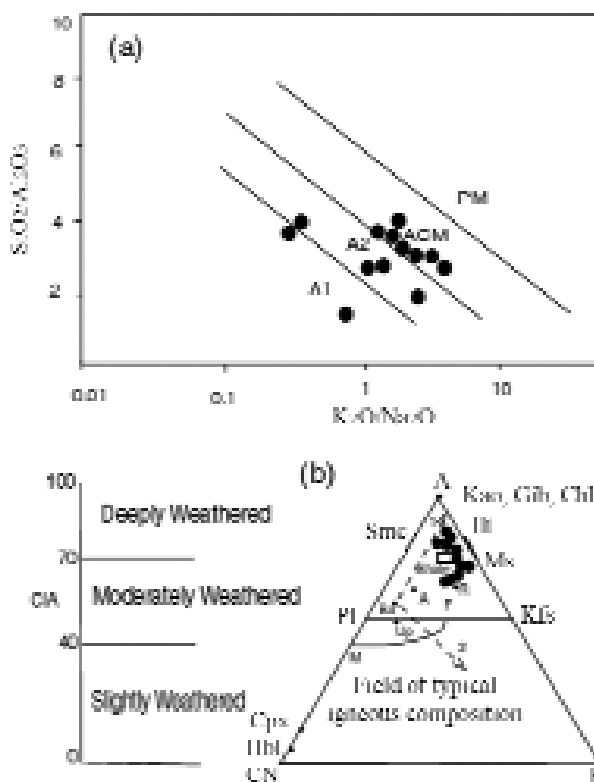
ابتدا به منظور تعیین منشاء رسوب اوکیهی سنگ‌های رسی دگرگون شده از دیاگرام دوتایی اکسید منیزیم-اکسید کالسیم (MgO-CaO) در مقابل پنتاکسید فسفر - اکسید تیتانیم ($P_2O_5-TiO_2$) ورنر (Werner 1987) استفاده شد. در این نمودار سنگ‌های ماگمایی اسیدی از سنگ‌های رسوبی دگرگون شده متمایز شدند، به عبارتی ارتو و یا پارا بودن منشاء آن‌ها مشخص شد. بر اساس تصویر a سنگ‌های مورد مطالعه منشا ارتو یا آذرین دارند. با استفاده از عناصر مقاوم در برابر دگرسانی از قبیل آلومینیم و تیتانیم و دیاگرام‌های باتیا (Roser & Korsch 1998) و روزر و کورش (Bhatia 1983) می‌توان به محیط تکتونیکی تشکیل سنگ رسوبی پی برد. اگر چه



تصویر a- نمودار دوتایی MgO/CaO - P_2O_5/TiO_2 در این نمودار سنگ‌های ماگمایی اسیدی از سنگ‌های رسوبی دگرگون شده متمایز شده‌اند، به عبارتی ارتو و یا پارا بودن منشاء آن‌ها مشخص شد، b- c- d- نمودارهای باتیا (Bhatia 1983) که طبق آن نمونه‌های متاپلیتی ماهنشان در محدوده‌ی جزایر قوس اقیانوسی (Oceanic Island Arc: OIA) قرار گرفته‌اند. (Roser & Korsch 1986) نمونه‌ها در محدوده‌ی حاشیه‌ی فعال قاره‌ای و مرتبط با قوس آتش‌فشانی قرار گرفته‌اند. CIA: Continental Volcanic Arc, ACM: Active Continental Margin, PM: Passive Margin.

آب ($\text{H}_2\text{O}/\text{CO}_2$) می‌باشد.

رسوبات آرکوزی مشخصه‌ی محیط‌های ریفت قاره‌ای می‌باشند. در صورتی که شیل و گریوک در محیط‌های اولاًکوژنی، حوضه‌های با فرونشست سریع و حاشیه‌ی فعال قاره‌ها تشکیل می‌شوند. به احتمال زیاد، آنچه در کمپلکس ماہنشان رسوب کرده، مربوط به حاشیه‌ی فعال قاره‌ای می‌باشد.



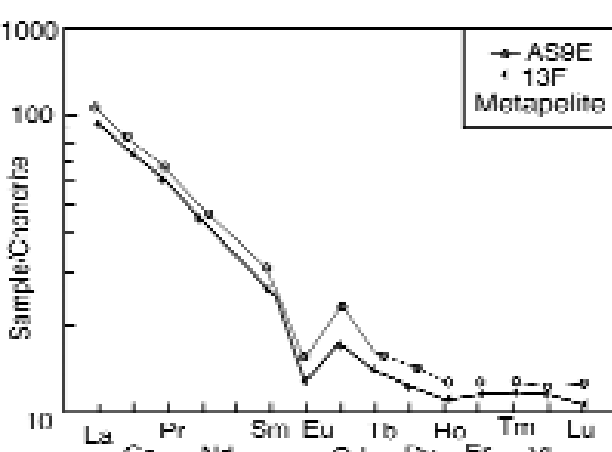
(Roser & Korsch 6891) نمودار روزر و کورش (Roser & Korsch 1982) بیانگر محیط مرتبط با قوس و سنگ مادر حد واسط برای متاپلیت‌ها می‌باشد، -b- مثلث ACNK (Nesbitt & Young 1984, Vergara et al. 1995) برای تعیین منشاء آذربین و نیز درصد هوازدگی منشاء بین ریولیت و آندزیت و هوازدگی حدود ۷۰ تا ۷۵ درصد برای متاپلیت‌ها ارزیابی می‌شود.

با استفاده از اکسیدهای عناصر اصلی نمودار سیلیس به اکسید آلومینیم ($\text{SiO}_2/\text{Al}_2\text{O}_3$) در مقابل اکسید پتاسیم به اکسید سدیم ($\text{K}_2\text{O}/\text{Na}_2\text{O}$) (Roser & Korsch 1982) تعریف شده توسط روزر و کورش (Maynard et al. 1982) و مینارد و همکاران (Korsch 1986) سنگ آذربین منشاء رسوبات از نوع حد واسط با درصد سیلیس متوسط ارزیابی می‌شود. (تصویر ۸a) با استفاده از طبقه‌بندی نسبیت و یانگ (Nesbitt & Young 1984) و ورگارا و همکاران (Vergara et al. 1995) سنگ مادر رسوبات دیوریت تا گرانودیوریت تخمین زده می‌شود.

برای تعیین درصد هوازدگی سنگ آذربین منشاء رسوبات، از دیاگرام‌های مثلثی ای سی ان ک (ACNK) (بر پایه‌ی اکسیدهای عناصر آلومینیم، پتاسیم، سدیم و کلسیم استفاده می‌شود. بر این اساس متاپلیت‌های کمپلکس ماہنشان از دگرسانی در حد متوسط به بالا سنگ منشاء آذربین با ترکیب آندزیتی تا ریولیتی حاصل شده‌اند. شانحص شیمیابی دگرسانی (CIA) (Nedachi et al. 2005; Nesbitt Young 1982) برای این نمونه‌ها حدود ۷۰ تا ۷۵ درصد است. (تصویر ۸b)

۴-۳-۳- بررسی الگوی عناصر نادر خاکی

عناصر نادر خاکی در دو نمونه از این سنگ‌ها نسبت به کندریت نرمآلیزه شده‌اند (تصویر ۹). الگوی تفریق یافته‌ی عناصر نادر خاکی سنگین (HREE: High Rare Earth Elements) نسبت به عناصر نادر خاکی سبک (LREE: Light Rare Earth Elements) برای این دو نمونه احتمالاً بیانگر نقش منشاء این سنگ‌هاست. الگوی عناصر نادر خاکی در متاپلیت‌ها معمولاً مشابه عناصر نادر خاکی سنگ‌های آذربین حاشیه‌ی فعال قاره‌ای است (ساکی ۱۳۸۶). الگوی تفریق یافته‌ی عناصر نادر خاکی سنگین نسبت به عناصر نادر خاکی سبک در سنگ‌های آذربین به دلیل وجود گارنت در منشاء، نرخ ذوب پایین و یا بالا بودن نسبت دی‌اکسیدکربن به



تصویر ۹- نمودار عناصر نادر خاکی در دو نمونه از متاپلیت‌های ماہنشان که غنی شدگی از عناصر سبک نسبت به عناصر سنگین را نشان می‌دهند.

۵-نتیجه‌گیری

- Acad., Norwell, Mass, 233-311.*
- Bhatia, M. R., 1983,** "Plate tectonics and geochemical composition of sandstones", *J. Geol. Vol. 92: 181-193.*
- Herron, M. M., 1988,** "Geochemical classification of terrigenous sands and shales from core or log data", *J. Sed. Petrology, Vol. 58: 820-829.*
- Lotfi, M., 2001,** "Geological map of Iran, 1:100,000 series sheet Takht-e-Soleiman", *Geological Survey of Iran, Tehran.*
- Maynard, J. B., Valloni, R. & Yu, H., 1982,** "Composition of modern deep sea sands from arc-related basins", *Geol. Soc. London, Spec. Pub. Vol. 10: 551-561.*
- Middleburg, J. J., Van Der Weijden, CH. & Woittiez, J. R. W., 1988,** "Chemical processes affecting the mobility of major, minor and trace elements during weathering of granitic rocks", *Chem. Geol., Vol. 68: 253-273.*
- Moyen, J. F. & Watt, G. R., 2006,** "Pre-Nagssugtoqidian crustal evolution in west Greenland: geology, geochemistry and deformation of supracrustal and granitic rocks north-east of Kangaatsiaq", *Geol. Surv. Denmark, Greenland, Bull., 11: 33-52.*
- Nadimi, A., 2006,** "Evolution of the central Iranian basement", *Gondwana Research xx (2006)xxx-xxx. Article in Press.*
- Nedachi, Y., Nedachi, M., Bennett, G. & Ohmoto, H., 2005,** "Geochemistry and mineralogy of the 2.45 Ga Pronto paleosols, Ontario, Canada", *Chem. Geol., Vol. 214 (1/2): 21-44.*
- Nesbitt, H. W. & Young, G. M., 1984,** "Prediction of some weathering trends of plutonic and volcanic rocks based on thermodynamic and kinetic considerations", *Geoch. Cosmo. Acta, Vol. 48: 1523-1534.*
- Nesbitt, H. W. & Young, G. M., 1982,** "Early Proterozoic climates and plate motions inferred from major element chemistry of Lutites", *Nature, Vol. 299: 715-717.*
- Osae, S., Asiedu, D. K., Banoeng-Yakubo, B., Koeberl, C. & Dampare, S. B., 2006,** "Provenance and tectonic setting of Late Proterozoic Buem sandstone of southeastern Ghana: Evidence from geochemistry and detrital modes", *J. Afri. Earth Sci., Vol. 44: 85-96.*
- Petersen, N., Smith, P. L., Mortensen, J. K., Creaser, R. A. & Tipper, H. W., 2004,** "Provenance of Jurassic sedimentary rocks of south-central Quesnellia, British Columbia: implications for paleogeography", *Can. J. Earth Sci. Vol. 41: 103-125.*
- با توجه به ترکیب سنگ کل متابلیت‌ها، مشخص گردید که پروتوولیت این سنگ‌ها، منشاء آذرین (ارتو) داشته و رسوب اوئیه از تخریب سنگ‌های آذرین حدّ واسط به وجود آمده است. ترکیب سنگ رسوبی اوئیه‌ی متابلیت‌ها قبل از دگرگونی شیل و یا گریوک می‌باشد. محیط تکتونیکی تشکیل رسوب اوئیه بر اساس نمودارهای متمايز‌کننده، مرتبط با قوس‌های آتشفسانی است. منطقه‌ی مردمطالعه بخشی از کمپلکس تکاب در شمال غرب ایران بوده و دارای شباهت‌های تکتونیکی، سنگ‌شناسی، چینه‌شناسی و ژئوكرونولوژی (سن نسبی و مطلق) با زون ایران مرکزی می‌باشد. بنابراین منشاء متابلیت‌های ماهنشان در ارتباط با قوس ماگمایی گسترده‌ای می‌باشد که در طول حاشیه‌ی پروتو-تیس (Proto-Tethys) ابر قاره‌ی گندوانا ایجاد شده است. به طوری که فرسایش باعث شکل‌گیری رسوبات از سنگ‌های آذرین حدّ واسط قوس گردیده است. این رسوبات در طی فاز کوهزایی کاتانگاهی متحمل دگرگونی سری بارزوین شده و متابلیت‌ها را ایجاد کرده‌اند. فاز کوهزایی کاتانگاهی باعث بسته شدن حوضه‌های اقیانوسی و ریفت‌های شکل‌گرفته‌ی مرتبط با کشش پروتو-تیس در داخل پوسته ایران شده است.

مراجع

لطفی، م.، ۱۳۸۲، نقشه‌ی ۷۰۰۰۰۰ ماهنشان، سازمان زمین‌شناسی کشور.

ساکی، ع.، ۱۳۸۶، مطالعه دگرگونی ناحیه‌ای سنگ‌های رسی، گنیس‌ها و گرانیت‌های نوع S در منطقه تکاب، شمال غرب ایران، رساله دکتری زمین‌شناسی، گرایش پترولوزی، دانشگاه تبریز.

Alavi, M., Hajian, J., Amidi, M., Bolourchi, H., 1982, "Geology of Takab-Saein-Qaleh, 1/250000", *Geological Survey of Iran, Tehran.*

Babakhani, A. R. & Ghalamghash, J., 1990, "Geological map of Iran, 1:100,000 series sheet Takht-e-Soleiman", *Geological Survey of Iran, Tehran.*

Berberian, M. & King, G. C. P., 1982, "Towards a paleogeography and tectonic evolution of Iran", *Can. J. Earth Sci., Vol. 18: 210-265.*

Berberian, M., 1997, "Seismic sources of the Transcaucasian historical earthquakes, in Historical and prehistorically earthquakes in the Caucasus", edited by D. Giardini & S. Balassanian, Kluwer

Pettijohn, F. S., Potter, P. E. & Siever, r., 1972, "Sand and Sandstones", *Springer-Verlag, New York, 290p.*

Ramezani, J. & Tucker, R. D., 2003, "The Saghand region, central Iran: U-Pb geochronology, petrogenesis and implications for Gondwana tectonics", *Am. J. Sci., Vol. 303: 622-665.*

Roser, B. P. & Korsch, R. J., 1986, "Discrimination of tectonic setting of sandstone-mudstone suites using SiO₂ content and K₂O/Na₂O ratio", *J. Geol., Vol. 94: 635-650.*

Roser, B. P. & Korsch, R. J., 1998, "Provenances signatures of sandstone-mudstone suites determined using discriminant function analysis of major-element data", *Chem. Geol., Vol. 67: 119-139.*

Saki, A., Moazzen, M., Modjtahedi, M. & Oberh?nsli, R., 2007, "Phase relations and reaction histories of chloritoid-free and chloritoid-bearing metapelites from the Mahneshan area, NW Iran", *Iranian J. Geosci., Article in Press.*

Saki, A., Moazzen, M., Modjtahedi, M. & Oberh?nsli, R., 2007, Determination of P-T conditions of metamorphism of Mahneshan Complex, NW Iran", *Iranian J. Crystallography and Min., Article in Press.*

Stockli, D. F., Hassanzadeh, J., Stockli, L. D., Axen, G., Walker, J. D. & Dewane, T. J., 2004, "Structural and geochronological evidence for Oligo-Miocene intra-arc low-angle detachment faulting in the Takab-Zanjan area, NW Iran", *Abstract, Programs, Geol. Soc. Am., Vol. 36: 319.*

Vergara, M., Levi, B., Nystrom, J.O. & Cancino, A., 1995, "Jurassic and Early Cretaceous island arc volcanism, extension, and subsidence in the Coat Range of central Chile", *Geol. Soc. Am. Bull., Vol. 107: 1427-1440.*

Werner, C. D., 1987, "Saxonian granulites-igneous or lithogenous. A contribution to the geochemical diagnosis of the original rocks in high-metamorphic complexes", *ZfI-Mitteilungen, Vol. 133: 221-250.*